

## Sezione H – Idraulica

### 3.13 - IMPIANTI MAREOMOTORI

*Si riportano le figure del capitolo in modo che quelle a colori consentano la giusta interpretazione dell'informazione cromatica in esse contenuta, altrimenti limitata dalla stampa a toni di grigio.*

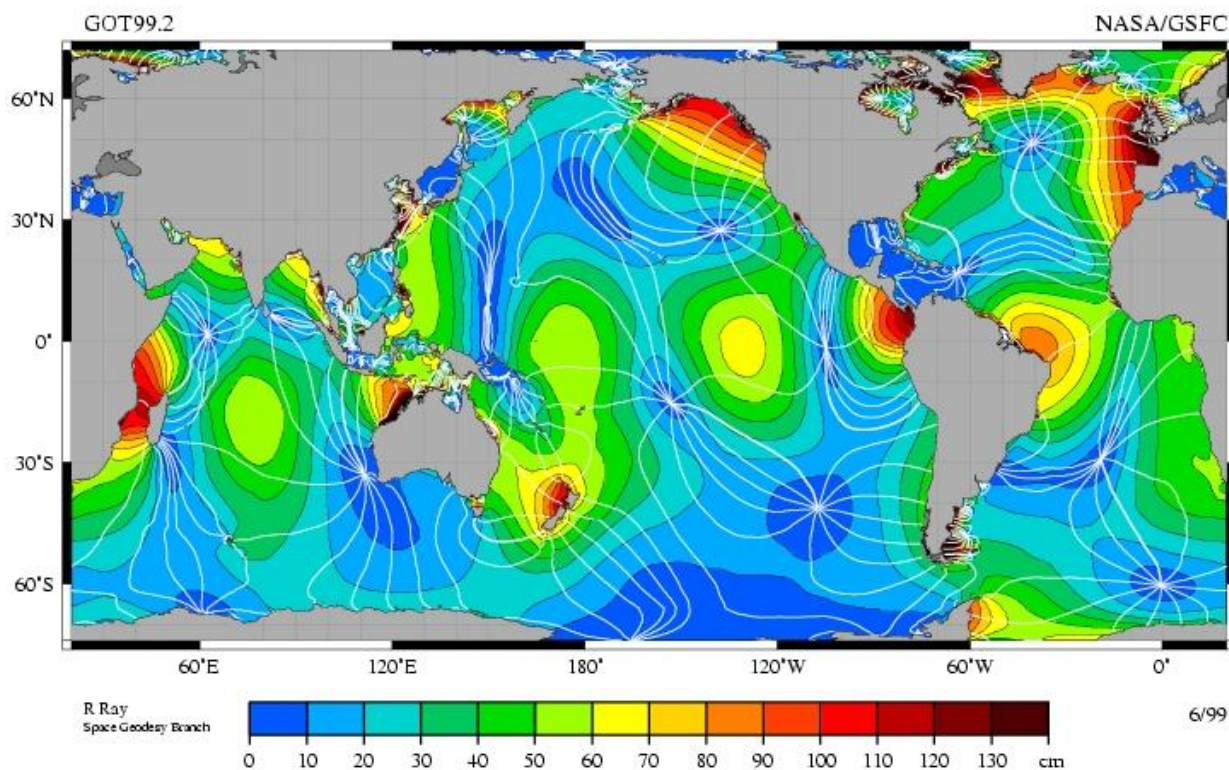


Fig. 140. Distribuzione delle ampiezze di marea nel mondo.

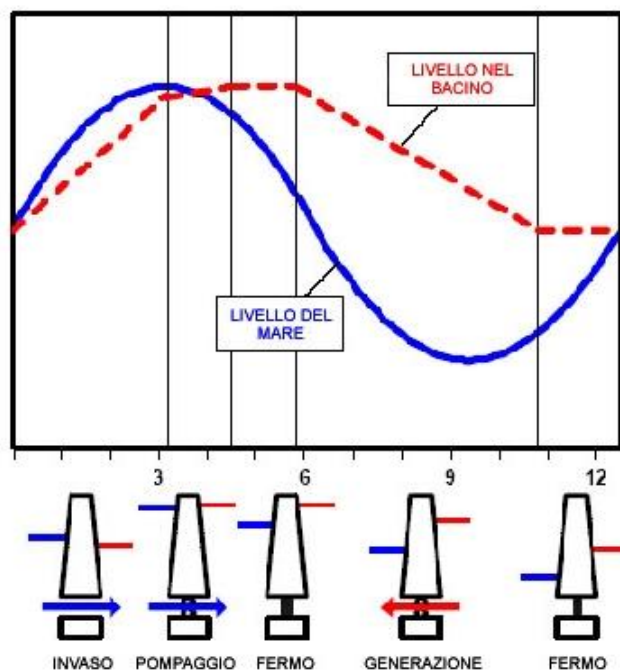


Fig. 141. Principio di funzionamento a semplice effetto.

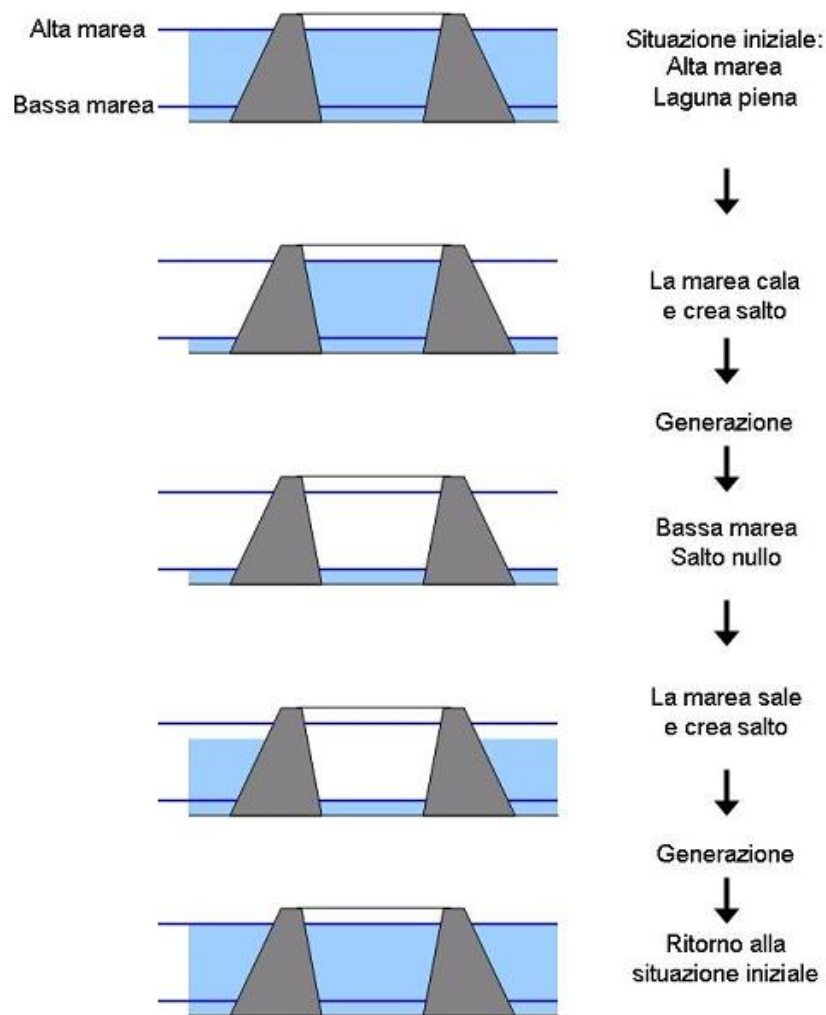


Fig. 142. Principio di funzionamento di un impianto a laguna.

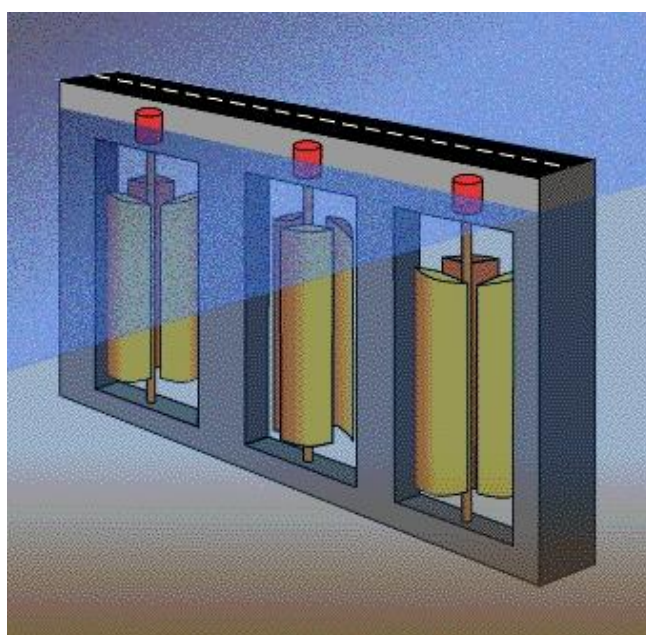


Fig. 143. Tidal fence.



Fig. 144. Potenza delle onde per metro di fronte (kW/m) nel mondo

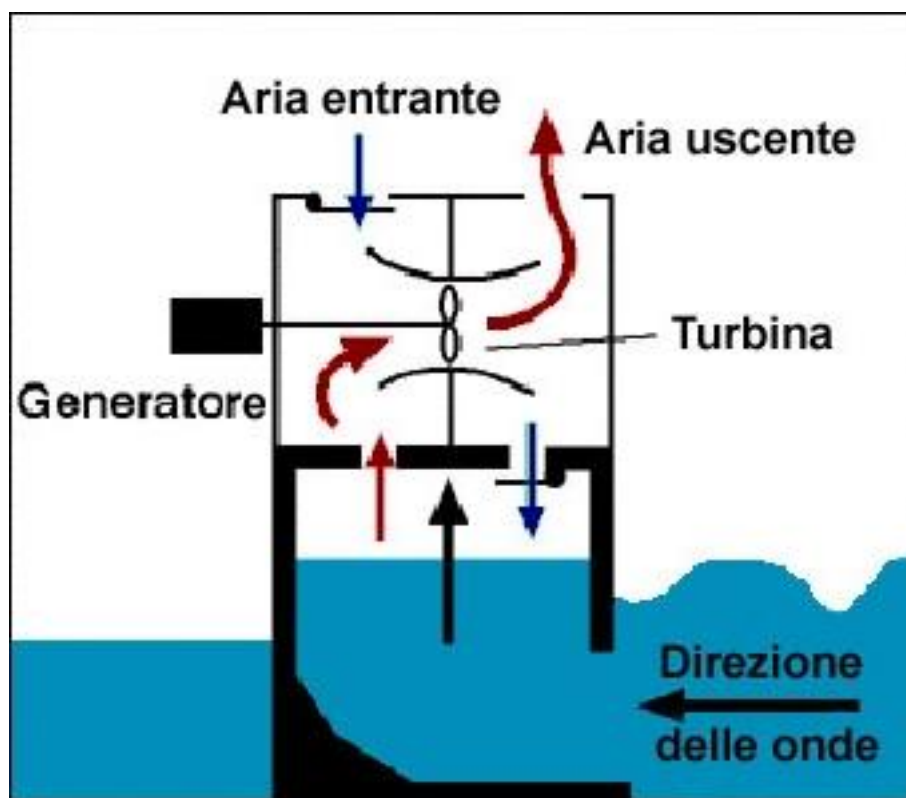


Fig. 145. Schema di funzionamento di un impianto a compressione d'aria lungo costa



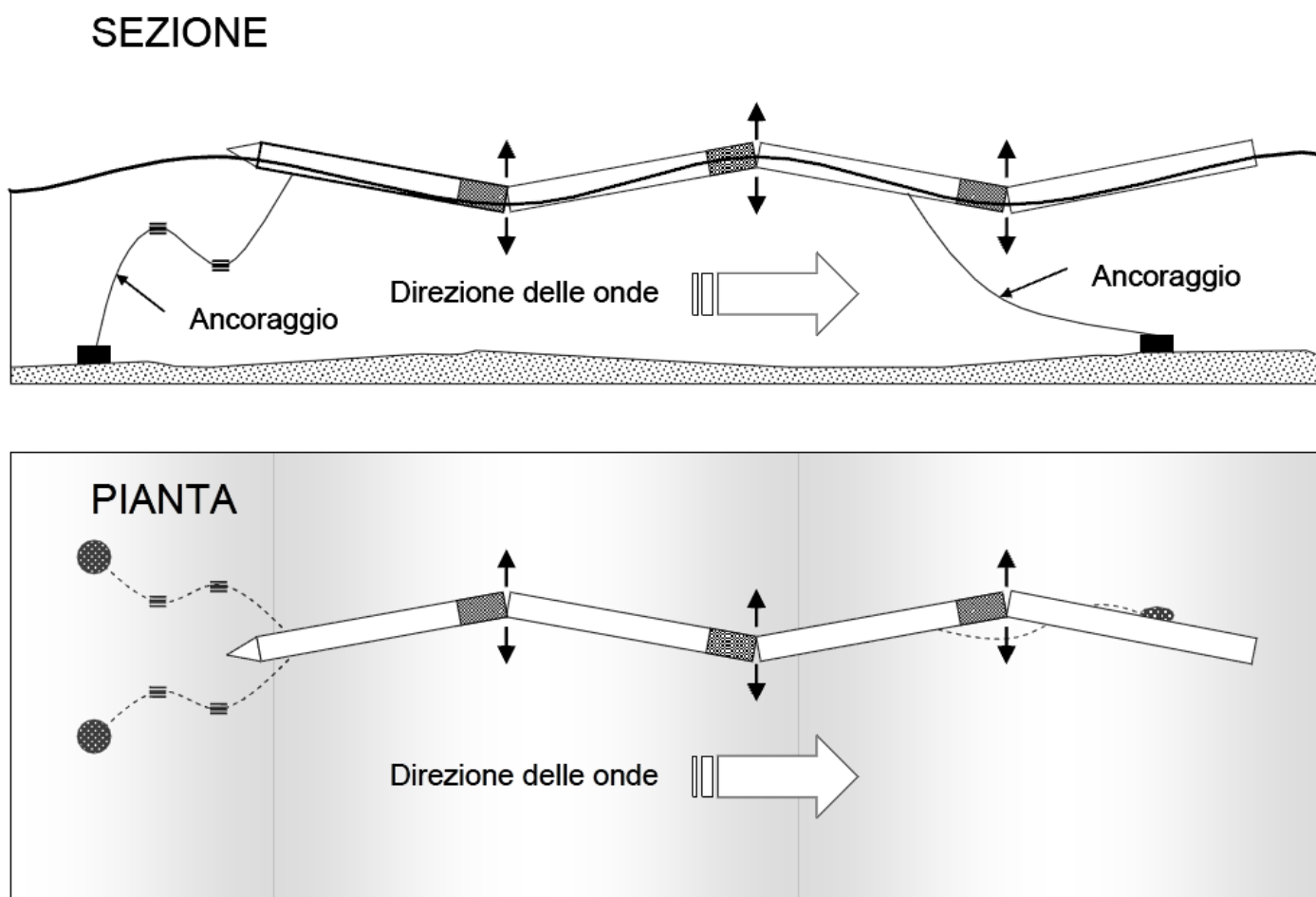


Fig. 146. Schema di impianto a galleggianti snodati.

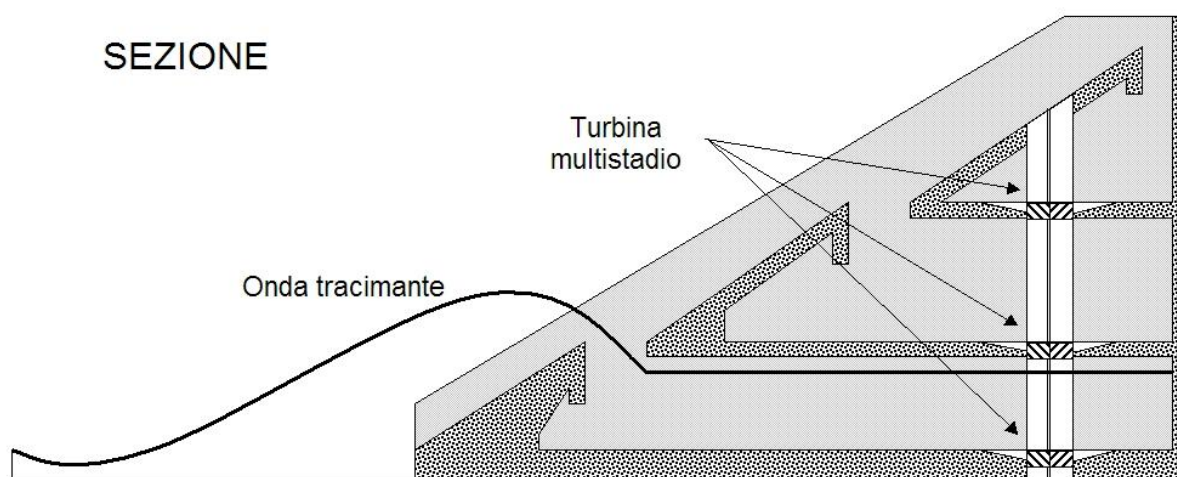


Fig. 147. Schema di impianto a tracimazione, installazione fissa.

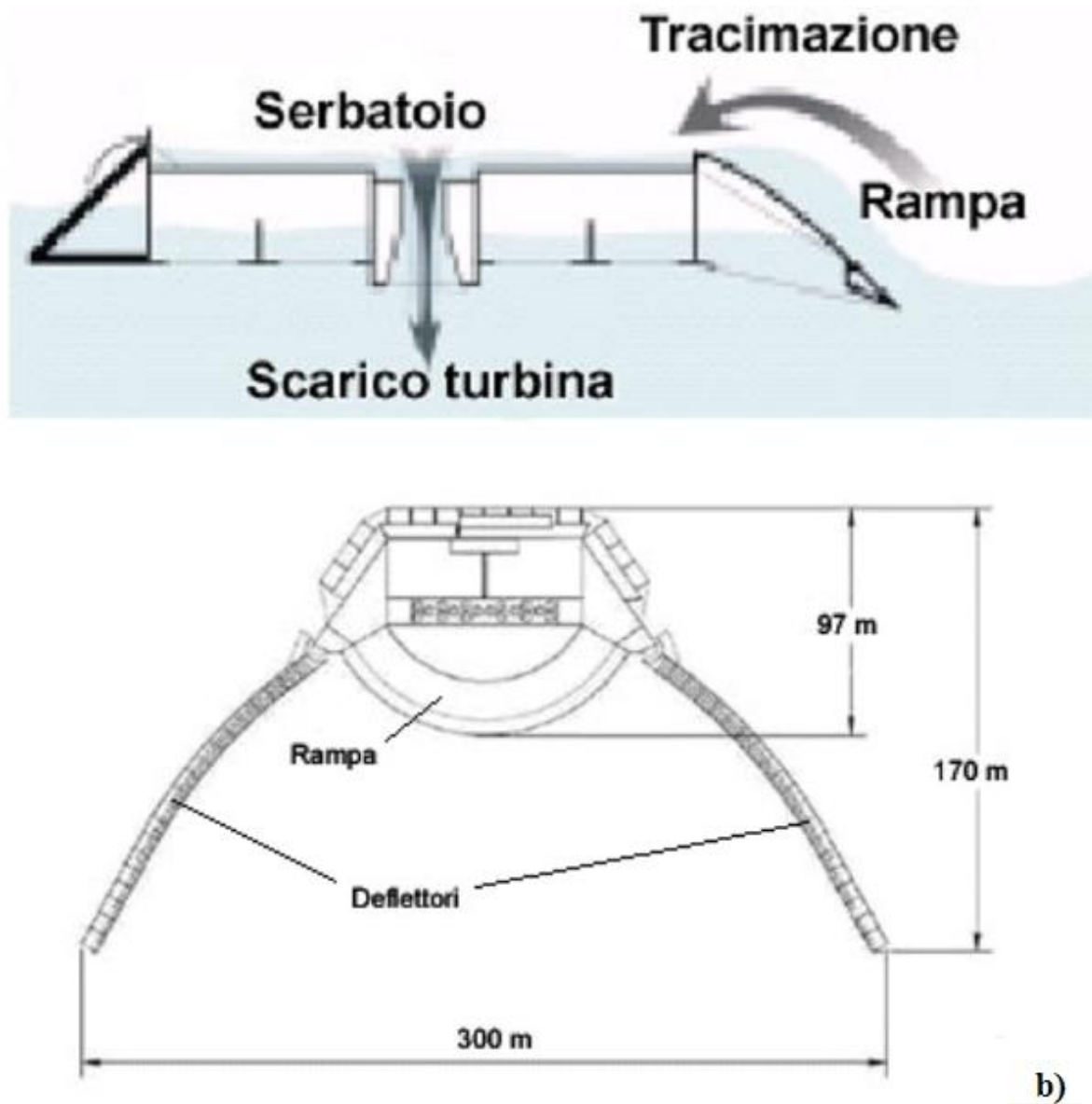


Fig. 148. *a)* Schema di funzionamento e *b)* schema planimetrico di impianto a tracimazione con concentrazione d'onde.

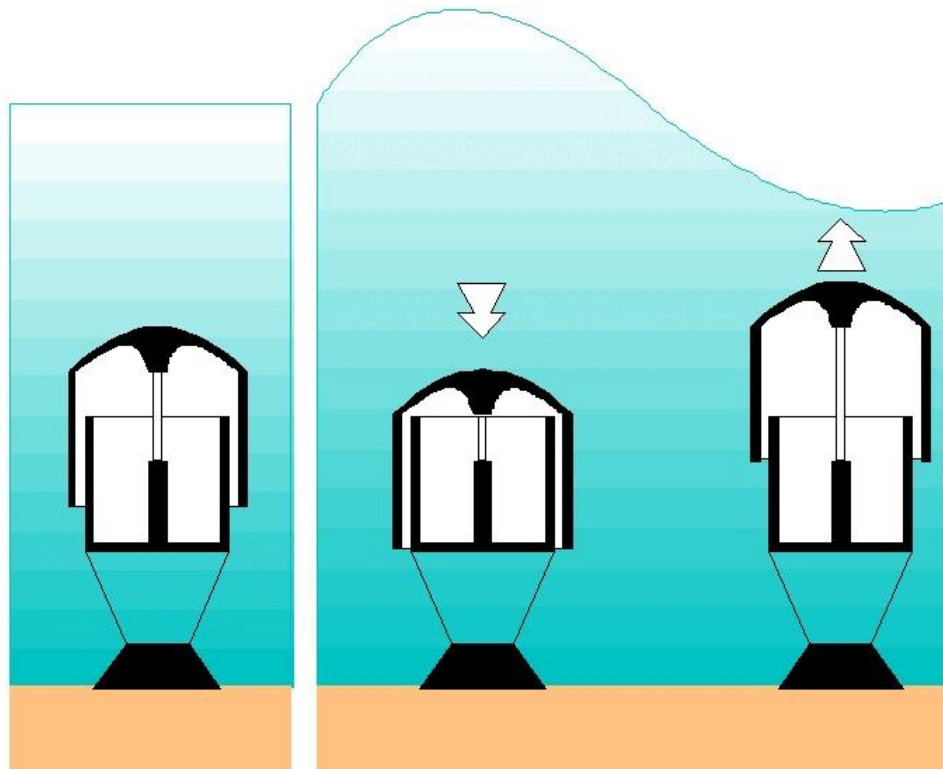


Fig. 149. Schema di funzionamento di impianto puntuale.

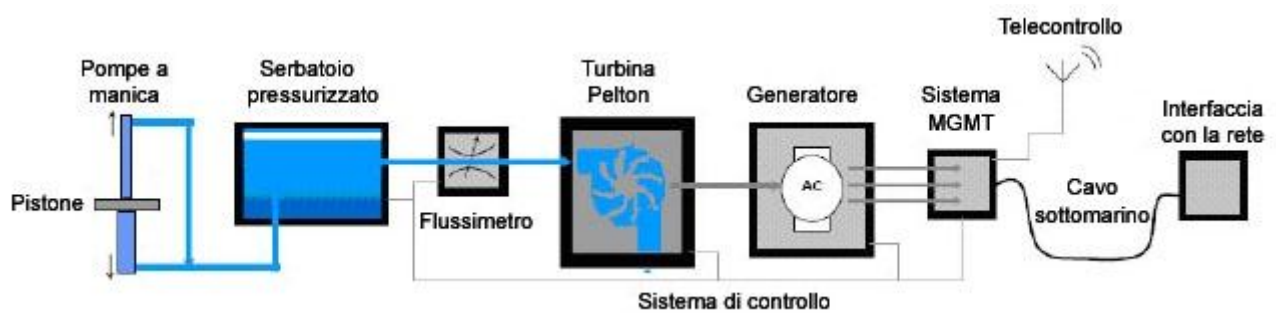


Fig. 150. Schema di funzionamento di impianto puntuale.

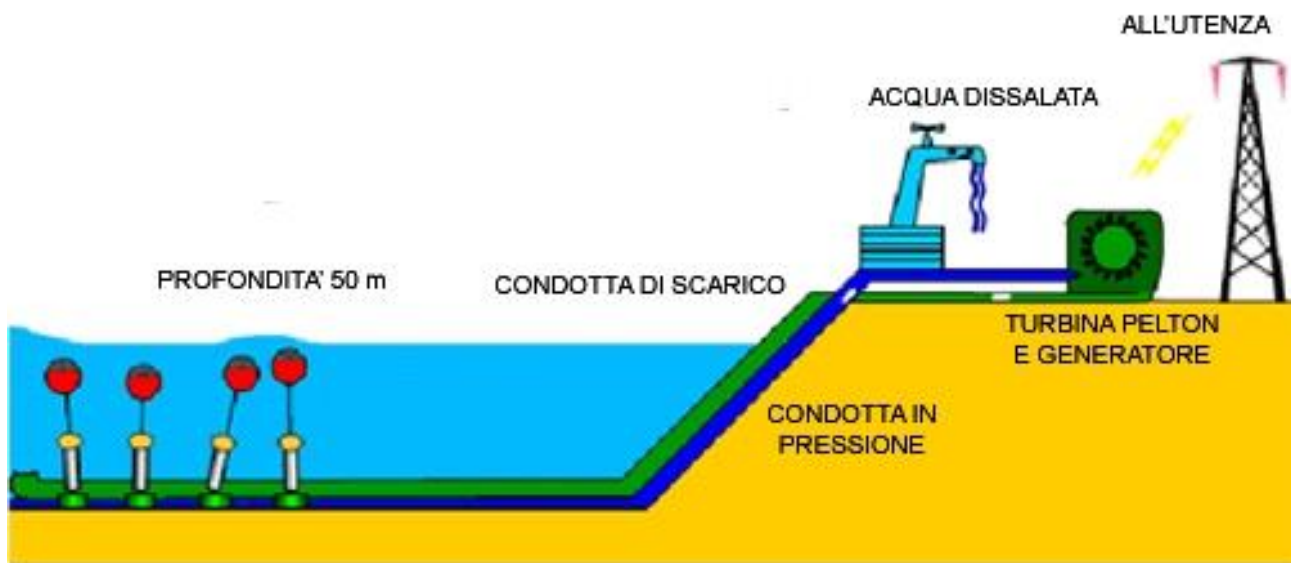


Fig. 151. Schema di funzionamento di convertitori a braccio oscillante.

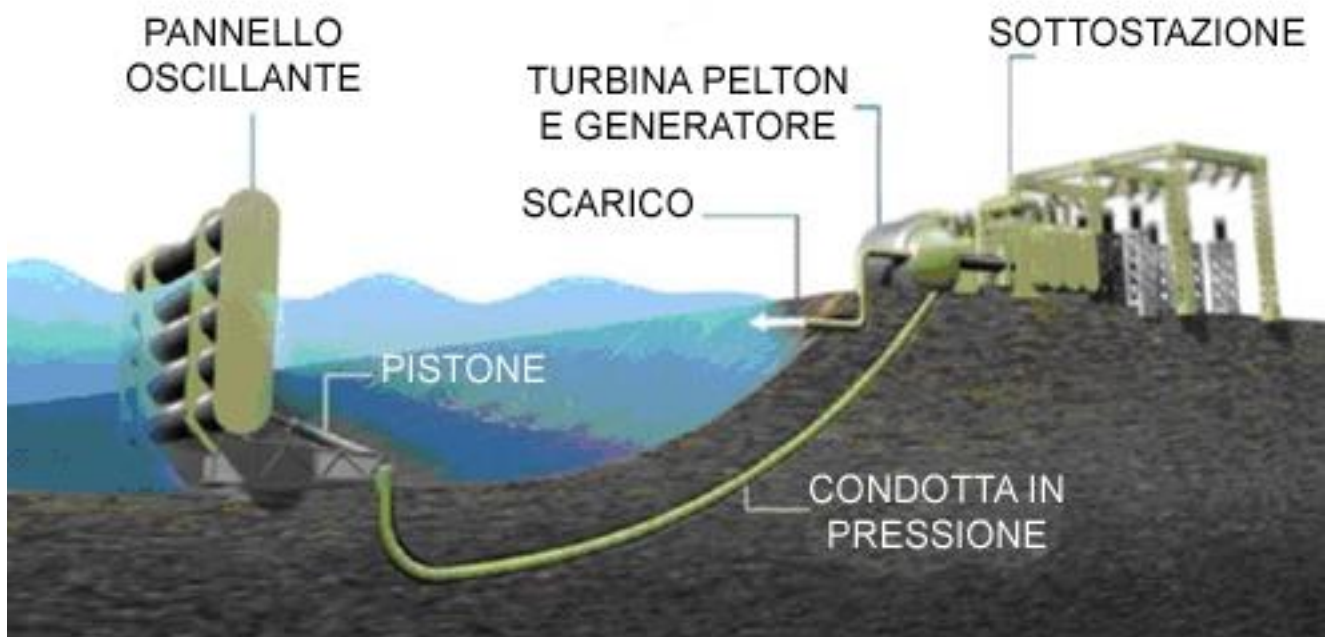


Fig. 152. Schema di funzionamento di convertitori a pannello oscillante.

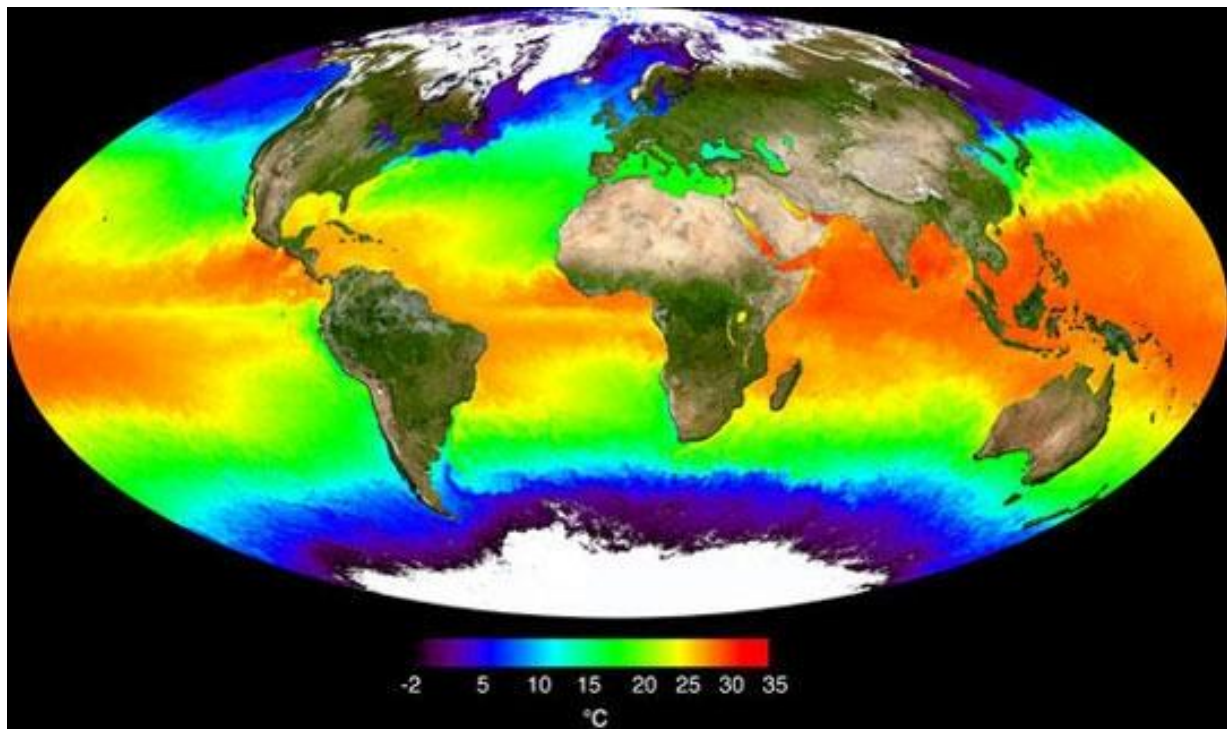


Fig. 153. Differenziale termico degli oceani.

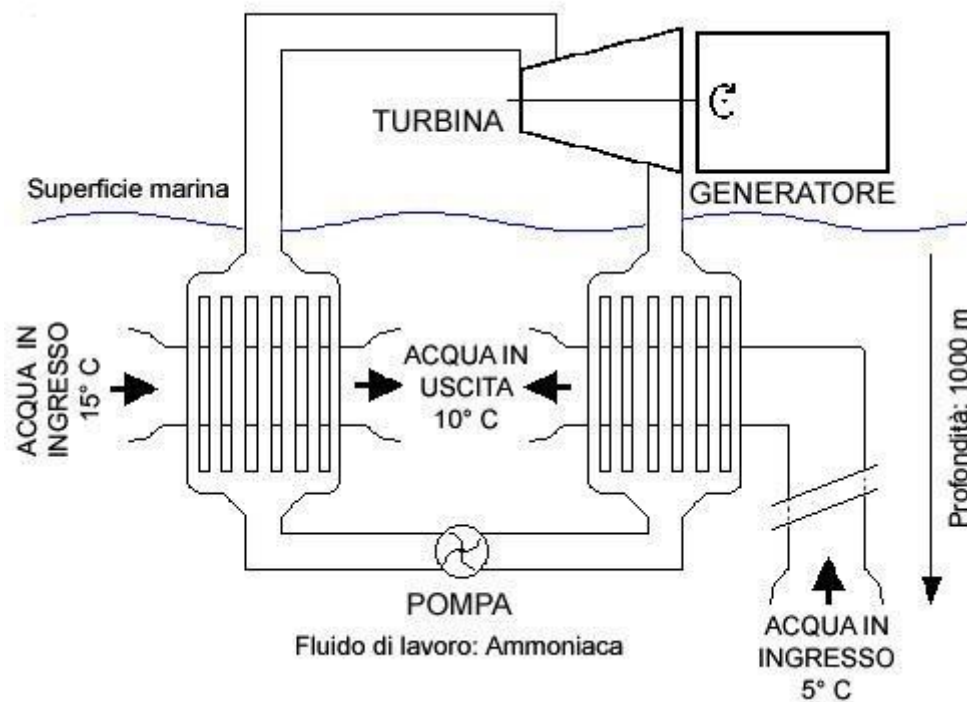


Fig. 154. Schema d'OTEC a ciclo chiuso.



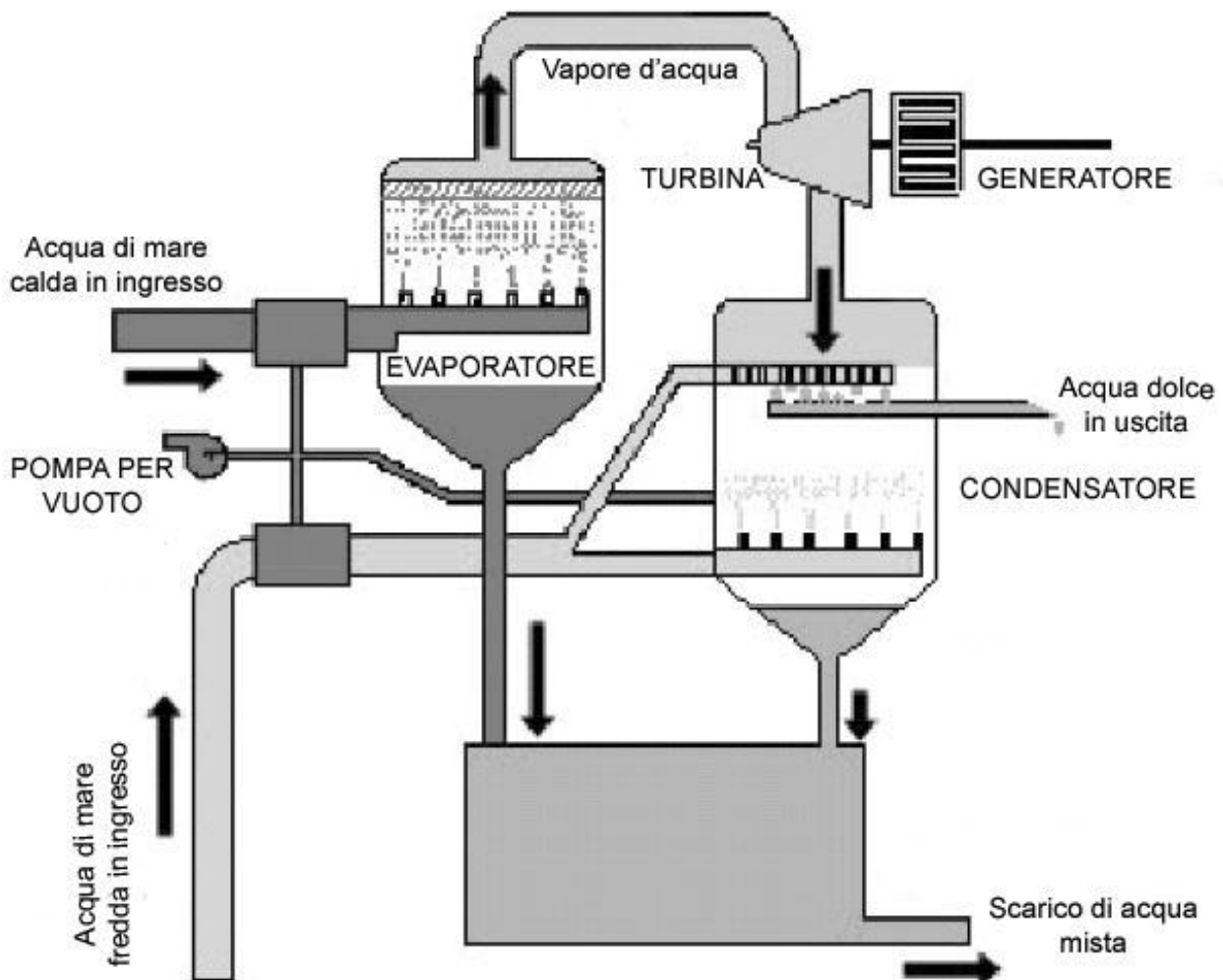


Fig. 155. Schema d'OTEC a ciclo aperto.